

高麗人蔘 (*Panax ginseng* C. A. Meyer) 의 非澱粉性 多糖類에 關한 研究

II. Pectin質의 理化學的 性質

閔庚燦·曹哉銑*·金銀洙**

信興實業專門大學食品營養學科·慶熙大學校食糧開發研究所*, 株式會社 鄭食品**

(1984년 11월 5일 접수)

Studies on the Nonstarchy Polysaccharides of Korean *Ginseng*, *Panax ginseng*, C. A. Meyer

II. Physicochemical propertie of pectic substances

Kyung-Chan Min, Jae-Sun Jo* and Eon-Soo Kim**

Dept. of Food and Nutrition, M'hin Heung Junior College,

Institute of Food Development, Kyung Hee University Chung Food
Co.**
(Received November 5, 1984)

Abstract

This study was conducted to investigate chemical and physical characteristics of pectin in Korean ginseng plant.

The results obtained are as follows:

1. The molecular weight of the pectin in ginseng plant was in the range of 1.1-2.4x10⁴ and athydrouronic acid content in the pectin was 97.98%.
2. The intrinsic viscosity of pectin as well as apparent visosity of the pectin in the roots were increased with cultural period.
3. The IR spectra of ginseng pectin showed the OH stretch, C-H bending vibration and the vibration of ester group carbonyl.
4. Sugars present in galacturonic acid, glucose, arabinose, xylose, galactose and rhamnose.

I. 緒論

Pectin은 植物 組織에 cellulose 및 hemicellulose와 함께 널리 分布되어 있으며 이는 通常 植物의 種類 및 成熟段階에서 여러가지로 變化하며 特히 植物이 成熟하면서 그 肉質이 軟化되는 것은 主로 이 pectin의 變化에 의한 것으로 생각된다. 또한 pectin은 食品의 加工에 直接 間接으로 크게 影向을 미치는 物質로 그것이 存在하는 植物 또는 同一植物의 경우라도 그 所在에 따라 性質이나 分子量 等이 상당한 差異가 있는 것으로 알려져 있다.

이와같은事實에 비추어 人蔘의 Pectin도 널리研究되어야 된다고思料되나 아직껏 人蔘은 saponin의研究가 그主를 이루고 있으며 그 이외의化學的인研究^{[2]~[12]}는 그리活發하지가 못하다.本研究는 人蔘中 pectin의 物理的性質과 化學的인性質을 究明하였다.

II. 材料 및 實驗方法

實驗에 使用된 人蔘試料는 京畿道 江華郡에서 1983年 9月30日에 3年生, 4年生, 5年生 그리고 6年生의 뿌리, 줄기, 잎을 採取하여 水洗 細切하여 80°C에서 10分間 blanching한 다음 50°C에서 乾燥시켰다.

乾燥된 人蔘各部位別採取試料에 0.5% ammonium oxalate溶液 10배(w/v)를 加한 다음 80~90°C에서 2時間동안 抽出한 後 遠心分離한 濾液에 같은量의 에탄올을 加하고 CaCl₂가 2%水溶液이 되도록 5%의 CaCl₂溶液을 加하여 pectin을沈澱시켰다. 이를濾過布로濾過하고 95%의 에탄올로洗滌했다. 0.5N-NaOH로再次溶解시켜濾過한 다음 塩酸으로 pH 5~6으로 되게 하여 同量의 에탄올과 CaCl₂溶液으로pectin을再沈澱시켜 55°C로乾燥하였다.^[13, 14]人蔘pectin의構造特性을 보기 為해서 KBr法으로 Infrared Spectrophotometer(Fourien-Transform, MX-1)를 使用하여 人蔘pectin의 IR spectra를 얻었다.

한편各pectin의化學組成中 methoxyl含量과 equivalent weight는 Owens等^[15]의標準分析法에의거하였으며, anhydrouronic acid含量은 McCready等^[16]과 Bitter等^[17]의方法에 따라各各定量하였다. 그리고各抽出pectin의分子量은 IFT Committee^[18]와 Smit等^[19]의相對粘度測定值로부터誘導하여 다음式에서와 같이換算하였다.

$$MW = \frac{(\eta_r^{1/P} - 1) \times P}{CK} \quad \eta_r = ts/to$$

η_r : relative viscosity, ts : flow time of pectin solution(sec),

to : flow time of 1% ($NaPO_3$)₆, P : 6,

C : concentration of galacturonic acid/100ml, K : 4.7×10^{-5}

Table 1. Operating conditions of HPLC for the determination of sugars in pectin of ginseng plant

Instrument	Gradient Chromatograph 334, Beckman
Detector	RI(SE-11, showa, Japan), x2
Column	Lichrosorb-NH ₂ (4mmx30cm)
Solvent	Acetonitrile-Distill H ₂ O(80/20, v/v)
Solvent flow rate	1.8ml/min.
Chart speed	0.8cm/min.
Sample size	20 μl

한편各pectin의構成糖組成을 알기為하여抽出된pectin을1.5N-H₂SO₄溶液으로5時間加水分解하여 이를CaCO₃로中和하고7,000rpm으로20分遠心分離하여沈澱物을다시80%에탄올로抽出하여遠心分離한 다음 두液을合해減壓濃縮하고純水50ml에녹여IR-120(H⁺)및IR-45(OH⁻)이온交換樹脂column에通過시켰다. 이를다시減壓濃縮하여5.0ml로하여Table 1과같은條件으로HPLC(model: Gradient)를使用하여糖組成을測定하였다.^[20~22]

또한pectin의物理的特性을알고자Ubbelohed dilution viscometer로20.0±1°C에서물의

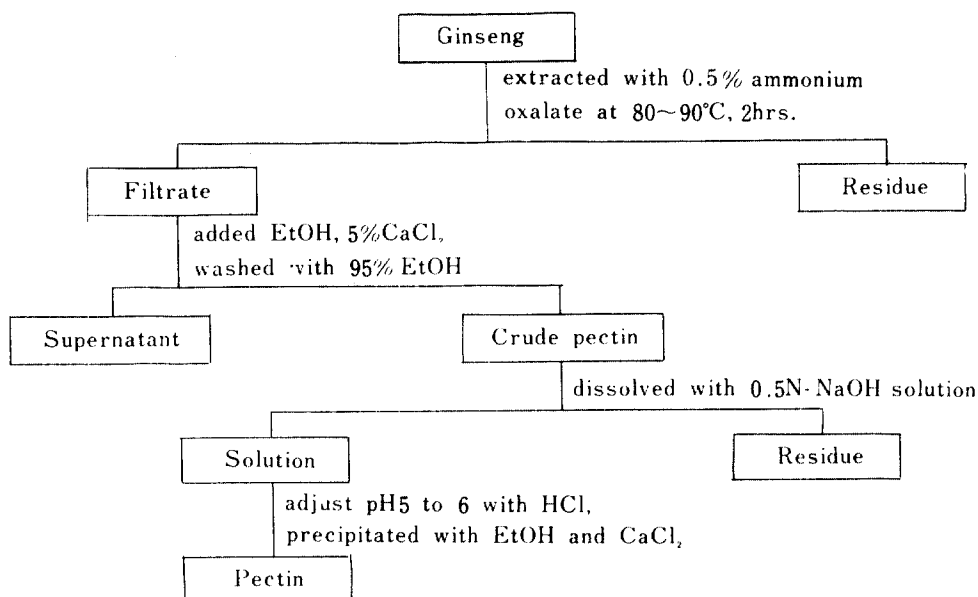


Fig. Schematic diagram for the extraction in ginseng plant.

流動時間은 210秒, 流動時間의 duplicate reading은 0.1秒에서 stop watch로 記録하였다. 溶媒와 溶液의 密度는 20°C에서 pyconometer로 測定하였다. 이때 使用한 모든 시료는 1% sodium hexametaphosphate 溶液 100ml에 pectin 0.1g을 1時間동안 magnetic stirrer에서 低速으로 溶解시켜 使用하였다. 또한 HCl과 NaOH 溶液으로 pH를 調節하였다.

相對粘度와 固有粘度는 다음과 같은 Mark-Houwink 式에 의해 算出¹⁹하였으며 固有粘度로서 軸比를 定性的으로 推定하여 分子形態를 同定하였다.

$$\text{Relative viscosity} = \eta_{\text{rel}} = \eta / \eta_0 \quad \eta : \text{viscosity of pure solvent}$$

$$\text{Specific viscosity} = \eta_{\text{sp}} = (\eta - \eta_0) / \eta_0 \quad \eta_0 : \text{viscosity of sample solution}$$

$$\text{Reduced viscosity} = \eta_{\text{red}} = \eta_{\text{sp}} / C \quad C : \text{concentration of pectin(g/100ml)}$$

$$\text{Intrinsic viscosity} = [\eta] = \lim_{C \rightarrow 0} \eta / C$$

또한 pectin의 粘度에 미치는 糖과 酸 및 热安定性을 보기 為하여 各 試料를 pH 4로 調節, 1% sucrose 添加, 100°C로 30分間 處理한 것과 3條件을 함께 行한 것의 粘度를 각기 測定하여 比較 檢討하였다.

III. 結果 및 考察

各 年根 部位別 抽出 pectin의 infrared spectra를 比較하면 Fig. 2, 3과 같다. 人參 뿌리 部位의 各 年根別 pectin의 spectral vibration은 吸收帶의 強弱 差異는 있으나 同一한 peak를 確認할 수 있었고 줄기와 葉의 vibration은 약간의 變化가 있었다. 即, O-H stretch는 뿌

리 部位에서는 모두 예리한 peak로 吸收帶 $3650\sim3600\text{cm}^{-1}$ 에서 나타났고 잎 部位에서는 吸收帶 $3500\sim3200\text{cm}^{-1}$ 에서 폭넓은 peak로 나타났다. 또한 carboxylate는 吸收帶 1600cm^{-1} 로, C-H Bending vibration은 $1300\sim1000\text{cm}^{-1}$ 로 全 部位에서 모두 vibration이 나타났다.

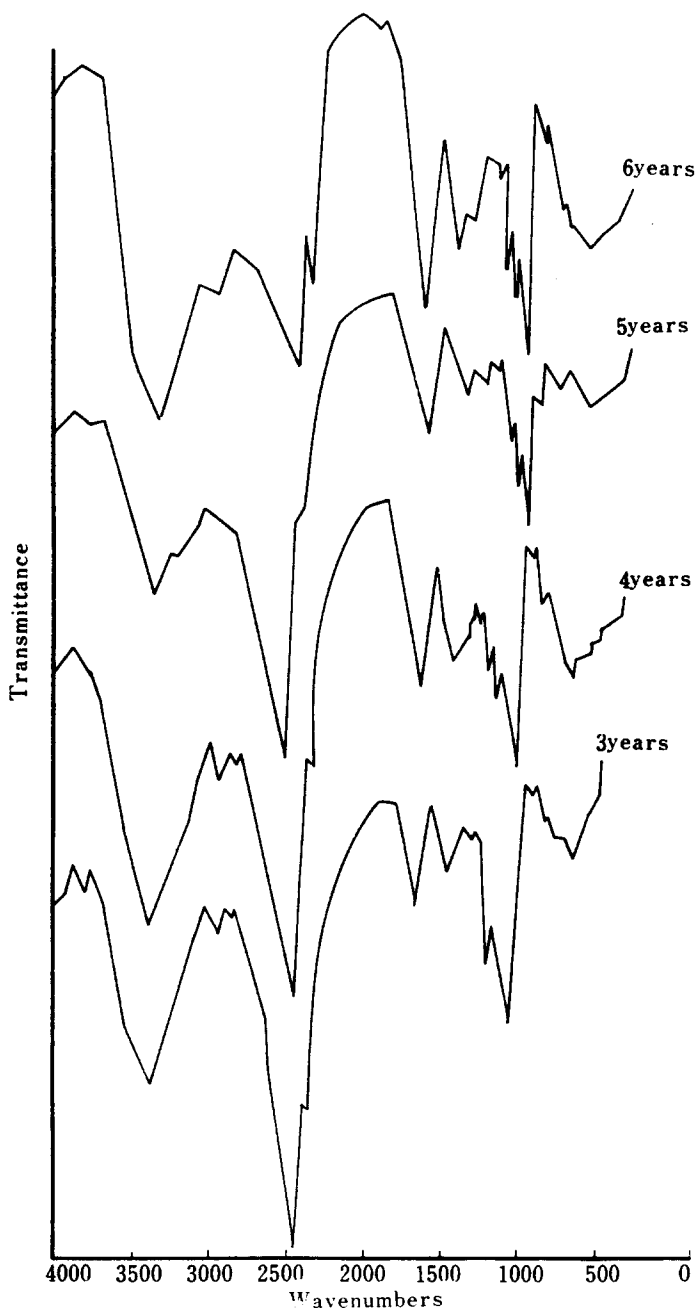


Fig. 2. IR spectra of pectin in ginseng root.

한편 뿌리와 잎 部位에서 ester group carbonyl은 1010cm^{-1} 에서 sharp peak로 強한 吸收帶를 보였으나 줄기 pectin에서는 찾아 볼 수가 없었다.

이러한 結果를 터어키 담배의 줄기 pectin과 감귤류 pectin의 IR spectra를 檢討한 Jacin²³의

報告와 比較하면 人參 줄기의 경우를 除外하고는 거의一致하였다.

이상의 結果에서 人參根과 잎의 pectin은 ester group carbonyl이 들어 있는 pectin質 即, 構造上으로 galacturonic acid의 carboxyl基의 一部 또는 大部分이 methyl化 또는 中酸性의 ester 塩으로 거의 構成되어 있으나 人參 줄기 pectin은 이와 달리 ester group이 거의 存在하지 않는 polygalacturonic acid인 것으로 思料되지만 보다 具體的인 確實한 構造는 앞으로 究明되어야 할 問題이다.

한편 9月에 採取한 各 年根, 部位別 抽出 pectin의 methoxyl含量, equivalent weight, 相對粘度, 分子量 및 anhydrouronic acid의 含量을 測定한 結果는 Table 2와 같다.

Table 2에서와 같이 equivalent weight는 3年根이 가장 커서 1207이었으며 줄기 pectin이 1106인데 反하여 뿌리와 잎의 pectin은 대략 590~820程度였다. 이는 Smit等¹⁰이 감귤 pectin에서 抽出한 pectin의 531~682와 비슷한 것으로 나타났다. 또한 methoxyl 含量은 3年根의 잎 部

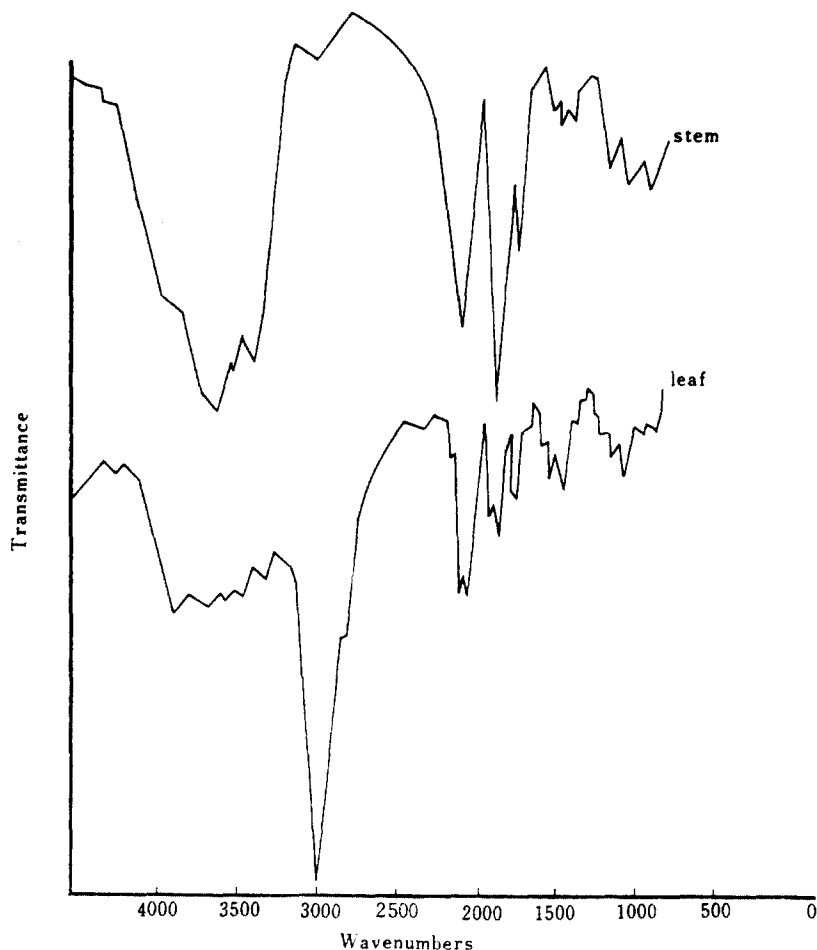


Fig. 3. IR spectra of pectin in ginseng leaf and stem. (5 years-old plant, picked on september)

位의 pectin이 13.37과 10.34로 높았으며 他部位의 pectin은 6.65~7.76%로 나타나 人參 各 部位의 pectin은 high methoxyl pectin임을 알 수 있었으며 이는 Smit等¹⁰의 citrus pectin의 met-

hoxyl含量 8.9~10.6%와 비슷하였다. 한편 相對粘度를 보면 1.09~1.16으로 年根이 높아 감에 따라 增加하였으며 부위별로는 출기部分이 多少 높아 1.16이었다.

各 年根 部位別 pectin의 分子量은 뿌리 部位에서 $1.1 \sim 2.1 \times 10^4$ 으로 耕培 年數에 比例하여 增加되었으며 잎 部位의 pectin 分子量은 1.8×10^4 이었고 출기 pectin은 2.4×10^4 이었다. Goto 等²⁴은 Sepharose CL-4B gel을 使用, 測定한 감귤 pectin의 分子量이 1×10^4 부터 2×10^4 以上까지 넓게 分布되어 있다고 報告하였고, Kawabata 等²⁵은 光散乱法으로 測定한 여름 딜감의 分子量은 4.4×10^4 이었으며 사과와 포도, pectin은 13.7×10^4 , 13.8×10^4 이라고 報告하였으며 Smit 等¹⁹은 粘度法으로 測定한 감귤 pectin의 分子量이 $11 \sim 12.3 \times 10^4$ 이라고 報告하였다.

그러나 Kawabata 等²⁵에 依하면 粘度法에 따른 배, 서양배, 포도 및 감귤에서 抽出한 pectin의 分子量이 $1.6 \sim 5.0 \times 10^4$, 超遠心法에 依한 레몬과 허颓에서 抽出한 pectin이 $6.2 \sim 41.4 \times 10^4$ 으로 報告되었다고 한다.

이를 미루어 보면 이제까지 報告된 pectin의 分子量은 $1 \sim 40 \times 10^4$ 이며 大部分이 $3 \sim 30 \times 10^4$ 으로 알려져 있다. 이에 比하면 人參의 pectin은 $1.1 \sim 2.4 \times 10^4$ 으로 이들 보다는 多少 적은 것으로 나타났다.

한편 年根 部位에 따른 pectin의 構成糖 組成을 比較하여 보면 Table 3과 같다. Solov'eva 等⁶은 人參 pectin의 構成糖은 galacturonic acid, galactose, arabinose, xylose, rhamnose와 未確認 糖으로 되어 있다고 報告하였다. 그러나 本 實驗에서는 glucose가 確認되었으며 다만 man-

Table 3. Sugar composition of pectin in ginseng plant

(Unit : %)

Cultivated years	Xylose	Arabinose	Rhamnose	Glucose	Galactose	Galacturonic acid
3 (root)	0.194	0.686	0.136	0.906	0.168	97.910
4 (root)	0.094	0.584	0.131	1.065	0.501	97.625
5 (root)	0.068	0.473	0.202	1.550	0.468	97.221
7 (root)	0.102	0.840	0.152	2.230	0.959	95.717
5 (leaf)	0.062	0.525	0.215	0.459	0.641	98.098
5 (stem)	0.101	0.489	0.289	0.177	0.722	98.222

nose에서는 glucose 含量이 多少 많은 것으로 나타났다.

한편 各 年根 部位別 pectin 試料의 결보기粘度와 相對粘度는 Table 4와 같다.

人參根의 경우 年根別로 오랜 것일수록 密度가 거의 비슷한 反面 粘度는一律的으로 增加하는

Table 4. Viscosity of pectins of ginseng plant with various picking month and culture years

Sample*	Flow times (sec.)	Density (g/cm ³)	Apparent viscosity (cP)	Relative viscosity
3 (root) **	215.40	1.0113	1.0921	1.0513
4 (root)	220.09	1.0114	1.1169	1.0752
5 (root)	223.84	1.0110	1.1326	1.0903
6 (root)	225.59	1.0100	1.1403	1.0977
5 (leaf)	222.34	1.0112	1.1295	1.0873
5 (stem)	229.20	1.0090	1.1609	1.1175
Solvent***	205.71	1.0090	1.0388	

*0.1g of pectin was dissolved in 100ml of 1% sodium hexametaphosphate.

Cultured years. *1% sodium hexametaphosphate.

傾向이었으며 换算粘度도 이와같이 높아지고 있었다. 한편 잎과 줄기 部位를 보면 잎인 경우는 4, 5年根과 類似하였으나 줄기는 他 部位보다 훨씬 높은 값으로 나타났다. 따라서 줄기에서抽出된 pectin이 잎이나 뿌리와 같은 他 部位에서抽出된 pectin보다 粘度가 높은 것을 알 수 있었다.

또한 年根別 試料의 濃度에 따른 걸보기粘度와 换算粘度를 測定하여 固有粘度를 算出한 結果는 Table 5, 6과 같다. 이를 Table에서 보는 바와 같이 各 試料의 濃度의 增加에 따라 流体의

Table 5. Viscosity of pectin in ginseng roots according to its concentration.

Cultured years	Concentration (%)	Flow times (sec.)	Density (g/cm ³)	Apparent viscosity (cP)	Relative viscosity
3	1.0	365.07	1.0220	1.8673	0.80
	0.8	322.90	1.0181	1.6454	0.73
	0.5	269.83	1.0153	1.3712	0.64
	0.3	239.86	1.0132	1.2164	0.57
	0.1	215.40	1.1030	1.0921	0.51
4	1.0	425.53	1.0189	2.1660	1.08
	0.8	368.57	1.0181	1.8781	1.01
	0.5	293.27	1.0155	1.4906	0.88
	0.3	225.98	1.0127	1.2975	0.83
	0.1	220.09	1.0140	1.1169	0.75
5	1.0	647.02	1.0186	3.2966	2.17
	0.8	510.25	1.0185	2.6011	1.88
	0.5	352.58	1.0184	1.7919	1.45
	0.3	276.21	1.1029	1.4003	1.16
	9.1	223.84	1.0110	1.1326	0.90
6	1.0	663.21	1.0190	3.3824	2.25
	0.8	521.87	1.0181	2.6593	1.95
	0.5	360.84	1.0152	1.8334	1.53
	0.3	280.08	1.0133	1.4205	1.25
	0.1	225.59	1.0100	1.0977	0.97

Note : Intrinsic viscosity of the pectins in 3, 4, 5, 6 years-old ginseng roots are 0.4764, 0.7121, 0.7461 and 0.8247 cm³/g, respectively.

Table 6. Viscosity of pectin in ginseng leaf and stem according to its concentration.

Portion	Concentration (%)	Flow times (sec.)	Density (g/cm ³)	Apparent viscosity (cP)	Relative viscosity
leaf	1.0	488.14	1.0210	2.4994	1.40
	0.8	410.81	1.1085	2.0942	1.27
	0.5	326.79	1.0151	1.6101	1.10
	0.3	263.77	1.0129	1.3379	0.96
	0.1	222.34	1.0115	1.1295	0.87
stem	1.0	725.86	1.0200	3.8435	2.70
	0.8	590.19	1.0183	3.0080	2.37
	0.5	396.30	1.1049	2.0130	1.87
	0.3	298.17	1.1035	1.5125	1.52
	0.1	229.20	1.0120	1.1609	1.17

Note : Intrinsic viscosity of the pectins in leaf and stem are 0.7892, and 1.0086 cm³/g respectively

移動速度를 비롯하여 密度, 粘度 및 换算粘度가 增加하는 것을 알았다. 이로부터 얻은 固有粘度

$[\eta]$ 는 3年根에서는 他部位보다 낮은 0.4764 cm/g 인데 반하여 4, 5, 6年根의 pectin은 0.7121 , 0.7461 및 0.7247 cm/g 으로 小幅增加에 그쳤으며 잎部位는 3, 4年根의 그것과 비슷하였으나 줄기 pectin의 경우는 가장 큰 값을 나타냈다. 이結果로 부터 分子量과 粒子의 形態變化를 定性的으로 알아 볼 수가 있었다. 固有粘度는 分散質의 分子量과 軸比(axial ratio)에 比例한다고 한다.²⁶ 따라서 年根에 따라 固有粘度가 增加되는 것은 이미 確認한 分子量의 增加와 合致한다 할 수 있다. 또한 定性的으로 軸比도 커진다는 것을 推定할 수 있다.

各 pectin試料에 따른 濃度가 換算粘度 即, 固有粘度에서 漸次 濃度를 增加시킨 試料에 따른 換算粘度의 變化는 Fig. 4와 같다.

各濃度에서 본 固有粘度에서 出發된 換算粘度는 거의 모두 直線을 나타내면서 增加되었다. 特히 3, 4年根과 잎에서 抽出된 pectin의 경우는 curve 傾斜가 완만한 反面 5, 6年根과 줄기에서 抽出된 pectin은 그 기울기가 急해 그 變化가 심한 것을 알 수가 있었다.

各年根 部位別 pectin의 酸度, 糖液 및 加熱에 따른 粘度의 變化를 測定한 것은 Table 7과 같다. Table에서 나타난 것을 綜合해 보면 各部位의 pectin이 거의 비슷하게 酸性에서와 糖液을 添加하였을 때에는 粘度가 增加하는데 反하여 加熱에는 거의 變化가 없었다. 그러나 pH4로 調節된 pectin液에 1% 糖을 加한 試料區에서의 粘度는 가장 變化가 많고 粘度도 높았다.

Table 7. Effect of acid, sugar and heat treatment on the viscosity of ginseng pectins.*

Cultured years	Viscosity (cP)			
	Condition 1**	Condition 2	Condition 3	Condition 4
3 (root)	1.272	1.1365	1.1452	1.2946
4 (root)	1.1212	1.1234	1.1420	1.2589
5 (root)	1.1448	1.5167	1.1976	1.2407
6 (root)	1.1623	1.1608	1.1859	1.1903
Leaf	1.1436	1.1414	1.1835	1.3262
5 (stem)	1.1991	1.1389	1.2546	1.3011
Water			1.0050	

*0.1g of pectin was dissolved in 100ml of 1% sodium hexametaphosphates.

**Condition 1 : pH 4, Condition 2 : pH and 100°C/30min. heating treatment.

Condition 3 : pH 4 and 1% sucrose. Condition 4 : pH 4, 1% sucrose and 100°C heating treatment.

IV. 要 約

人參 pectin의 理化學的 性質을 고찰한 結果는 다음과 같다.

1 人參 pectin의 分子量은 $1.1\sim2.4\times10^6$ 였고 pectin 中의 anhydrouronic acid의 含量은 97~98%였다.

2 pectin의 固有粘度는 栽培期間이 길수록 增加되었으며 뿌리部位보다 잎과 줄기部位에서 增加되었다.

3 人參의 뿌리 및 잎의 pectin은 赤外線分光分析 結果 ester group을 形成하는 carbonyl 基를 갖고 있으나 줄기 pectin은 이를 거의 갖고 있지 않은 것으로 推定된다.

4 人參 pectin은 galacturonic acid를 비롯하여 glucose, arabinose, xylose, galactose 및 rhamnose로 構成되어 있었으며 특히 다른 pectin에 거의 없는 glucose의 含量이 1~2%나 含有되어 있었다.

References

1. Kertesz, Z.I.: *The Pectic Substances*, Interscience Publishers, New York (1961).
2. Jung, B.S., *Kor. J. Pharmacog.*, **5** (3), 173 (1974).
3. Jung, B.S. *Kor. J. Pharmacog.*, **7** (1), 41 (1976).
4. Cook, C.H. and An, S.H. *Kor. J. Pharmacog.*, **6** (1), 15 (1975).
5. Takahashi, M., Isoi, K., Yoshikura, M. and Osugi, T. *Yakugaku Zasshi*, **81** (5), 771 (1961).
6. Solov'eva, T.F., Arsenyuk, L.V. and Ovodov, Yu. S. *Carbohydr. Res.*, **10**, 13 (1963).
7. Takitura, K. and Nakagawa, I. *Yakgaku Zasshi*, **83** (3), 298 (1963). An, B.J. *Insam Munhun Teukkip* (Seoul), **2**, 31, (1964).
8. Kim, Y.E., Juhn, K.S. and An, B.J. *J. Pharm. Soci. (Kor.)*, **8** (3), **80** (1964).
9. Gstirner, F. and Vogt, H.J. *Arch. Pharm.*, **299** (11), 936 (1966).
10. Cho, H.O., Lee J.H., Cho, S.H. and Choi, Y.H.: *J. Food Sc. Technol. (Korea)*, **8** (2), 95 (1976).
11. Oh, H.I., Lee, S.J., Do, J.H., Kim S.D. and Hong, S.K. *Kor. J. Ginseng Sci.*, **5** (2), 114 (1981).
12. Yu, J.H., Kim, H.J., Pyun, Y.R. and Nam, S.H. *J. Food Sci. Technol. (Korea)*, **9** (4), 313 (1977).
13. Hatanaka, C. and Ozawa, J., *Agr. Biol. Chem.* **28** (9), 627 (1964).
14. Hatanaka, C. and Ozawa, J., *J. Agr. Chem. (Japan)*, **40** (11), 421 (1966).
15. Owens, H.S., McCready, R.M., Shephered, A.D., Schutz, T.H., Pippen, E.I., Swenson, H.A., Miers, J.C., Erlandsen, R.F. and Maclay, W.D., USDA Bureau Agric. and Ind. Chem. Report N. 340 (1952).
16. McCready, R.M. and McComb, E.A., *Anal. Chem.*, **24** (12), 1986 (1952).
17. Bitter, T. and Muir, H.M., *Anal. Biochem*, **4**, 330 (1962).
18. IFT Committee *Food Technol.*, **13**, 496 (1959).
19. Smit, C.J.B. and Bryant, E.F., *J. Food Sci.*, **32**, 197 (1967).
20. Eda, S. and Kato, K., *Agric. Biol. Chem.*, **44** (12), 2793 (1967).
21. Yang, M.T., Milligan, L.P. and Mathision, G.W., *J. Chromatog.*, **209**, 316 (1981).
22. Voragen, A.G.J., Schols, H.A., Devries, J.A. and Pilnik, W., *J. Chromatog.*, **244**, 327 (1982).
23. Jacin, H., Mosby, R.J. and Fiore, J.V., *J. Agr. Food Chem.*, **15** (6), 1057 (1967).
24. Goto, A., Araki, C. and Izumi, Y., *Nippon Shokuhin Kogyo Gakkaishi*, **29** (3), 155 (1982).
25. Kawabata, A. and Sawayama, S., *J. Agri. Chem. (Japan)* **51** (1), 15 (1977).
26. Lee, C.H., *J. Food Sci. Technol. (Kor.)* **12** (1), 66 (1980).